

к резкому спаду в спектре [180, 181] в области γ -лучей с $\langle E_c \rangle \geqslant 2m_e$, т. е. при энергии

$$E_{e, \text{ макс}} \approx \frac{2m_e^2}{kT_{\gamma 0}} \approx 10^{15} \text{ эВ.}$$

Эти ограничения справедливы только в предположении, что космические лучи протонов и фотонов высоких энергий возникают вне пределов Галактики.

Все же пока нельзя утверждать с полной уверенностью, что наблюдаемый микроволновый фон действительно представляет собой излучение черного тела, оставшееся от ранней эры в эволюции Вселенной. Ясно, однако, что такая точка зрения обоснована достаточно хорошо, чтобы оправдать серьезное изучение выводов относительно ранней Вселенной, к которым она приводит. Теперь мы перейдем к рассмотрению этих выводов.

§ 6. Температурная история ранней Вселенной

Плотность энергии микроволнового фона при 2,7 К равна

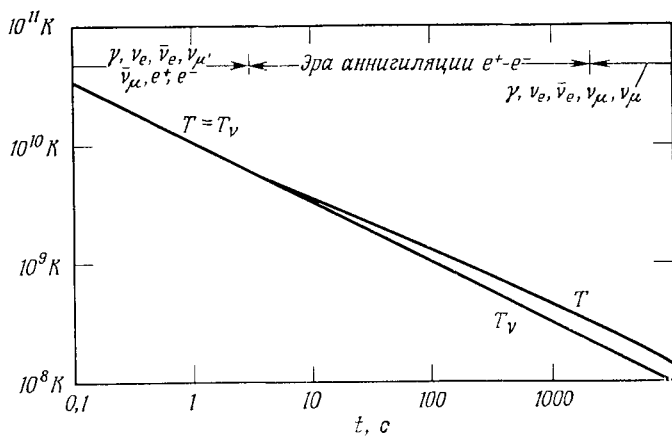
$$\rho_{\gamma 0} = aT_{\gamma 0}^4 = 3,97 \cdot 10^{-13} \text{ эрг/см}^3 = 4,40 \cdot 10^{-34} \text{ г/см}^3. \quad (15.6.1)$$

Как уже было отмечено в § 2 этой главы, эта величина меньше, чем современная плотность масс покоя нуклонов, так что мы живем в эру преобладания вещества, которая составляет большую часть истории Вселенной. Эта эра подробно обсуждалась в § 3 гл. 15.

Теперь мы обратим наше внимание на более ранний период, когда излучение и релятивистские частицы играли большую роль, чем обычное вещество. Чтобы нить изложения не терялась за деталями вычислений, полезно сначала обрисовать принятую в настоящее время общую картину ранней истории Вселенной, а затем перейти к подробным вычислениям, подтверждающим эту картину. Обычно считается, что история Вселенной выглядит в общих чертах примерно так (фиг. 15.5):

А. На очень ранней стадии, когда температура T выше 10^{12} К, Вселенная содержит большое разнообразие частиц: фотонов, лептонов, мезонов, нуклонов и их античастиц, находившихся в тепловом равновесии. Сильные взаимодействия между мезонами и нуклонами делают эту эру весьма трудной для изучения; она кратко обсуждается в § 11 этой главы.

Б. Во время, когда $T \approx 10^{12}$ К, Вселенная содержит фотоны, мюоны и антимюоны, электроны, позитроны, нейтрино и антинейтрино. Кроме того, имеется небольшая нуклонная примесь из одинакового числа протонов и нейтронов. Все эти частицы находятся в тепловом равновесии.



Фиг. 15.5. Температурная история ранней Вселенной.

Здесь T — температура $\gamma - e^+ - e^-$ плазмы и T_v — температура $\nu_e, \bar{\nu}_e, \nu_\mu, \bar{\nu}_\mu$, находящихся в состоянии свободного расширения.

В. Когда температура падает ниже 10^{12} К, начинают аннигилировать μ^+ и μ^- . После исчезновения почти всех мюонов при $T \approx 1,3 \cdot 10^{11}$ К нейтрино и антинейтрино перестают взаимодействовать с другими частицами, а в тепловом равновесии с температурой $T \sim R^{-1}$ остаются e^\pm , γ и небольшое количество нуклонов. (Электронные нейтрино могли оставаться в равновесии с остальными частицами несколько дольше, но это не приводит к каким-либо особенностям.)

Г. При падении температуры ниже 10^{11} К ($t \approx 0,01$ с) в малой примеси нуклонов из-за разности масс протона и нейтрона начинается сдвиг в сторону увеличения числа протонов и уменьшения числа нейтронов.

Д. Когда температура падает ниже $5 \cdot 10^9$ К ($t \approx 4$ с), начинают аннигилировать электрон-позитронные пары; доминирующими составляющими Вселенной остаются лишь фотоны, нейтрино и антинейтрино, которые находятся, по существу, в состоянии свободного расширения, причем температура фотонов на 40,1 % больше температуры нейтрино. В то же время охлаждение нейтрино и исчезновение электронов и позитронов «замораживают» нейтрон-протонное отношение примерно на уровне 1 : 5.

Е. При температуре около 10^9 К ($t \approx 180$ с) нейтроны и протоны начинают быстро собираться в более тяжелые ядра, в результате чего образуется ионизованный газ, состоящий из водорода, He^4 (27 % по массе) со следами d , He^3 и других элементов.

Ж. Продолжается свободное расширение фотонов, нейтрино и антинейтрино, при этом $T_\gamma = 1,401 T_\nu \sim R^{-1}$. Температура ионизованного газа остается «привязанной» к температуре фотонов до рекомбинации водорода при $T \approx 4000$ К.

З. При некоторой температуре между 10^3 и 10^5 К плотность энергии фотонов, нейтрино и антинейтрино становится ниже плотности масс покоя водорода и гелия и Вселенная вступает в эру преобладания вещества.

Для детализации этой истории будет удобным посвятить настоящий параграф температурной эволюции определяющих составных частей ранней Вселенной — фотонов и лептонов, а обсуждение синтеза ядер (нуклеосинтеза) отложить до следующего параграфа.

Рассмотрим, во-первых, уравнение, задающее временной масштаб расширения ранней Вселенной. Оно несколько проще, чем в эру преобладания вещества, поскольку можно пренебречь кривизной пространства. При $k = \pm 1$ современное значение правой части уравнения Эйнштейна (15.1.20) определяется из (15.2.5) и (15.2.6):

$$\frac{8\pi G\rho_0 R_0^2}{3} = \frac{2q_0}{|2q_0 - 1|}. \quad (15.6.1)$$

В § 2 этой главы было показано, что, по всей вероятности, $q_0 > 0,014$ и, следовательно, в настоящее время $8\pi G\rho R^2/3 > 0,03$. В течение эры преобладания вещества эта величина убывала как $R^{-1} \sim T$; поэтому в более ранние периоды она была больше, например около 10 при $T_\gamma \approx 1000$ К. Отсюда видно, что на протяжении всей ранней истории Вселенной постоянная k была много меньше, чем правая часть уравнения (15.1.20), и потому приведенное выше уравнение можно упростить:

$$\dot{R}^2 = \frac{8\pi G\rho R^2}{3}. \quad (15.6.2)$$

Поэтому для обсуждения ранней Вселенной безразлично, является ли пространство открытым или закрытым.

Теперь мы должны рассмотреть, что представляет собой содержимое ранней Вселенной. Можно ожидать, что в любой заданный момент времени некоторые частицы будут в тепловом равновесии друг с другом, другие — в состоянии свободного расширения и, возможно, часть — в процессе перехода из первого состояния во второе. В приближении идеального газа, находящегося в тепловом равновесии, плотность числа частиц $n_i(q) dq$ i -го сорта с импульсом между q и $q + dq$ определяется распределением Ферми или Бозе (см., например, [182], § 52, 53):

$$n_i(q) = 4\pi h^{-3} g_i q^2 dq \left[\exp \left(\frac{E_i(q) - \mu_i}{kT} \right) \pm 1 \right]^{-1}, \quad (15.6.3)$$

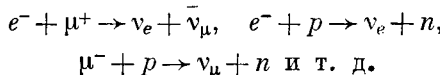
где $E_i(q) \equiv (m_i^2 + q^2)^{1/2}$ — энергия частицы, μ_i — химический потенциал; в квадратных скобках выбирается знак «+» для фермионов и знак «—» для бозонов, g_i — число спиновых состояний: $g = 1$ для нейтрино и антинейтрино и $g = 2$ для фотонов, электронов, нуклонов и их античастиц.

Химические потенциалы должны быть определены из рассмотрения законов сохранения, которым подчиняются различные возможные реакции. Основное правило состоит в том, что μ_i аддитивно сохраняется во всех реакциях (см., например, [182], формула (99.2)). В частности:

А. Фотоны могут быть испущены или поглощены в любой реакции в любом числе, и $\mu_\gamma = 0$. [Формула (15.6.3) переходит тогда в распределение Планка (15.5.9) с $n_\gamma = \rho_\gamma/h\nu$ и $q = E = h\nu$.]

Б. Пары частица — античастица аннигилируют в фотоны, поэтому химические потенциалы частицы и ее античастицы должны быть равны и иметь противоположные знаки.

В. Электроны и мюоны могут превратиться в соответствующие им пейтрино ν_e и ν_μ при столкновении друг с другом или нуклонами, т. е. в реакциях



Следовательно, химические потенциалы связаны равенствами

$$\mu_{e^-} - \mu_{\nu_e} = \mu_{\mu^-} - \mu_{\nu_\mu} = \mu_n - \mu_p. \quad (15.6.4)$$

Всего имеются четыре независимых сохраняющихся внутренних квантовых числа: заряд, барионное число (нуклоны и гипероны минус антинуклоны и антигипероны), электронное лептонное число (e^- и ν_e минус e^+ и $\bar{\nu}_e$) и мюонное лептонное число ¹⁾ (μ^- и ν_μ минус μ^+ и $\bar{\nu}_\mu$). Следовательно, имеются четыре независимых химических потенциала, в качестве которых можно взять μ_p , μ_{e^-} , μ_{ν_e} , μ_{ν_μ} . Эти независимые химические потенциалы должны определяться значениями плотности заряда N_Q , плотности барионного числа N_B , плотности электронного лептонного числа N_E и плотности мюонного лептонного числа N_M ; все они изменяются как R^{-3} . Задача нахождения химических потенциалов сводится, таким образом, к определению значений этих четырех плотностей.

Мы знаем, что средняя плотность заряда N_Q равна нулю или во всяком случае очень мала ²⁾. Мы знаем также, что плотность

1) Обсуждение законов сохранения электронного лептонного числа и мюонного лептонного числа по отдельности см., например, в [183], § 1.2 и 3.4.

2) Возможность отличного от нуля N_Q обсуждается в работах [184, 185].

барионного числа N_B много меньше плотности фотонов n_γ , поскольку в настоящее время $N_B \approx n_p + n_n - n_{\bar{p}} - n_{\bar{n}}$ на 8–10 порядков меньше n_γ , тогда как в ранние периоды величина $N_B R^3$ была строго постоянной, а величина $n_\gamma R^3 \sim (T_\gamma R)^3$ — постоянной лишь весьма приближенно. К сожалению, мы очень мало знаем о нынешней плотности нейтрино и поэтому не можем оценить значение $N_E = n_{e^-} + n_{\nu_e} - n_{e^+} - n_{\bar{\nu}_e}$ или $N_M = n_{\mu^-} + n_{\nu_\mu} - n_{\mu^+} - n_{\bar{\nu}_\mu}$.

Все же, поскольку N_B на 8–10 порядков меньше, чем n_γ , весьма разумно предположить, что N_E и N_M также много меньше n_γ . Если это так, то будет хорошим приближением положить все сохраняющиеся квантовые числа равными нулю:

$$N_Q = N_B = N_E = N_M = 0. \quad (15.6.5)$$

Конечно, на самом деле N_B не равно нулю и нам нужно будет ввести в расчеты барионы, когда мы в следующем параграфе станем рассматривать синтез элементов, но при установлении весьма приблизительной температурной истории ранней Вселенной числом N_B можно пренебречь. Вопрос о том, можно ли пренебречь также и числами N_E и N_M , будет поднят в конце этого параграфа.

Задача нахождения химических потенциалов решается теперь очень просто. Химические потенциалы частиц и античастиц равны и противоположны по знаку, поэтому четыре плотности N_Q , N_B , N_E и N_M являются *нечетными* функциями четырех независимых химических потенциалов μ_p , μ_{e^-} , μ_{ν_e} , μ_{ν_μ} . Следовательно, значения μ_i , определяемые условием (15.6.5), равны попросту нулю:

$$\mu_i = 0. \quad (15.6.6)$$

Это приближение дает возможность весьма просто использовать сохранение энергии. Полная плотность энергии и полное давление всех частиц, находящихся в тепловом равновесии, теперь являются, очевидно, функциями только температуры:

$$\rho_{\text{равн}}(T) \equiv \sum_{i(\text{равн})} \int E_i(q) n_i(q; T) dq, \quad (15.6.7)$$

$$p_{\text{равн}}(T) \equiv \sum_{i(\text{равн})} \int \left[\frac{q^2}{3E_i(q)} \right] n_i(q; T) dq \quad (15.6.8)$$

[см. (2.10.21) и (2.10.22)]. Согласно второму началу термодинамики, энтропия частиц, находящихся в равновесии при температуре T и в объеме V , есть функция $S(V, T)$, такая, что

$$dS(V, T) = \frac{1}{T} \{ d(\rho_{\text{равн}}(T)V) + p_{\text{равн}}(T) dV \}. \quad (15.6.9)$$

Отсюда

$$\frac{\partial S(V, T)}{\partial V} = \frac{1}{T} \{ \rho_{\text{равн}}(T) + p_{\text{равн}}(T) \},$$

$$\frac{\partial S(V, T)}{\partial T} = \frac{V}{T} \frac{d\rho_{\text{равн}}(T)}{dT}.$$

Плотность энергии и давление должны удовлетворять условию интегрируемости

$$\frac{\partial}{\partial T} \left\{ \frac{1}{T} [\rho_{\text{равн}}(T) + p_{\text{равн}}(T)] \right\} = \frac{\partial}{\partial V} \left[\frac{V}{T} \frac{d\rho_{\text{равн}}(T)}{dT} \right]$$

или после небольших преобразований

$$\frac{dp_{\text{равн}}(T)}{dT} = \frac{1}{T} \{ \rho_{\text{равн}}(T) + p_{\text{равн}}(T) \}. \quad (15.6.10)$$

Это равенство можно также вывести непосредственно из (15.6.7) и (15.6.8), так как частицы, находящиеся в тепловом равновесии, взаимодействуют только между собой, их полная энергия и давление должны, кроме того, удовлетворять уравнению сохранения энергии (14.2.19):

$$R^3 \frac{dp_{\text{равн}}}{dt} = \frac{d}{dt} [R^3 (\rho_{\text{равн}} + p_{\text{равн}})]. \quad (15.6.11)$$

Используя условие (15.6.10), можно переписать это равенство так

$$\frac{d}{dt} \left\{ \frac{R^3}{T} [\rho_{\text{равн}}(T) + p_{\text{равн}}(T)] \right\} = 0. \quad (15.6.12)$$

Этот закон сохранения имеет простую интерпретацию в терминах энтропии. Использование равенства (15.6.10) в (15.6.9) дает

$$dS(V, T) = \frac{1}{T} d \{ [\rho_{\text{равн}}(T) + p_{\text{равн}}(T)] V \} -$$

$$-\frac{V}{T^2} [\rho_{\text{равн}}(T) + p_{\text{равн}}(T)] dT,$$

и, следовательно, с точностью до возможной аддитивной постоянной

$$S(V, T) = \frac{V}{T} [\rho_{\text{равн}}(T) + p_{\text{равн}}(T)]. \quad (15.6.13)$$

Равенство (15.6.12) устанавливает, таким образом, постоянство энтропии в объеме $R^3(t)$:

$$S \equiv S(R^3, T) = \frac{R^3}{T} [\rho_{\text{равн}}(T) + p_{\text{равн}}(T)]. \quad (15.6.14)$$

В частности, когда все частицы, находящиеся в равновесии, являются ультрапрелятивистскими, в интегралах (15.6.7) и (15.6.8)

можно положить $E = q$, так что

$$\rho_{\text{равн}}(T) = \frac{1}{3} \rho_{\text{равн}}(T). \quad (15.6.15)$$

Тогда из (15.6.10) следует, что

$$\rho_{\text{равн}}(T) \sim T^4 \quad (15.6.16)$$

с «постоянной» пропорциональности, зависящей от того, какие именно типы частиц находятся в равновесии при данной температуре. [Этот результат можно получить также непосредственно из (15.6.7) и (15.6.8).] Теперь, подставляя (15.6.15) и (15.6.16) в (15.6.12), определяем, как падает температура:

$$T \sim R^{-1}. \quad (15.6.17)$$

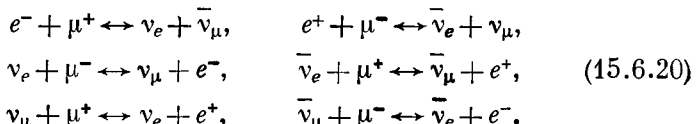
Мы увидим, что эта закономерность верна в течение большей (но все же не всей) части ранней эволюции Вселенной.

Нашей следующей целью является установление того, какие частицы были в тепловом равновесии в различные периоды. Одно из упрощений, возникших из-за пренебрежения химическими потенциалами, состоит в том, что иметь заметную плотность (15.6.3) и быть в тепловом равновесии могут только частицы с $m < kT$. При $kT < m_e$ или $T < 1,5 \cdot 10^{12}$ К такими частицами являются μ^\pm , e^\pm , ν_μ , $\bar{\nu}_\mu$, ν_e , $\bar{\nu}_e$ и γ . Гравитоны не рассматриваются здесь по причинам, изложенным в § 11 этой главы. В ходе всей ранней истории Вселенной процессы рождения пар, аннигиляции и комptonовского рассеяния поддерживали все остающиеся заряженные частицы в равновесии с фотонами. Следовательно, фотоны подчинялись распределению Планка (15.5.9), а e^\pm и μ^\pm — распределению Ферми с нулевым химическим потенциалом:

$$n_{e^-}(q) dq = n_{e^+}(q) dq = 8\pi h^{-3} q^2 dq \left[\exp \left(\frac{\sqrt{q^2 + m_e^2}}{kT} \right) + 1 \right]^{-1}, \quad (15.6.18)$$

$$n_{\mu^-}(q) dq = n_{\mu^+}(q) dq = 8\pi h^{-3} q^2 dq \left[\exp \left(\frac{\sqrt{q^2 + m_\mu^2}}{kT} \right) + 1 \right]^{-1}. \quad (15.6.19)$$

Что можно сказать относительно нейтрино и антинейтрино? Известно, что они могут рождаться, исчезать и рассеиваться в реакциях



Коль скоро $kT < m_\mu$, сечения всех этих реакций будут примерно иметь порядок

$$\sigma_{wk} \approx g_{wk}^2 \hbar^{-4} (kT)^2, \quad (15.6.21)$$

где $g_{wk} = 1,4 \cdot 10^{-49}$ эрг·см³ — константа слабого взаимодействия, известная по наблюдаемой скорости распада мюона $\mu^+ \rightarrow e^+ + v_e + \bar{v}_\mu$. При рассматриваемых температурах все скорости частиц порядка единицы, поэтому для плотностей заряженных лептонов e^\pm и μ^\pm из (15.6.18), (15.6.19) получаем

$$n_l \approx \left(\frac{kT}{\hbar} \right)^3. \quad (15.6.22)$$

Следовательно, длина, на которой нейтрино рассеивается или рождается в расчете на один заряженный лептон, имеет порядок

$$\sigma_{wk} n_l \approx g_{wk}^2 \hbar^{-7} (kT)^5. \quad (15.6.23)$$

Полная плотность энергии приблизительно равна

$$\rho \approx kT \left(\frac{kT}{\hbar} \right)^3, \quad (15.6.24)$$

и, согласно (15.6.2), относительная скорость расширения порядка

$$H \equiv \frac{\dot{R}}{R} \approx (G\rho)^{1/2} \approx G^{1/2} \hbar^{-3/2} (kT)^2. \quad (15.6.25)$$

Отсюда, пока $kT > m_\mu$, т. е. $T > 10^{12}$ К, в единицах СГС имеем

$$\frac{\sigma n_l}{H} \approx G^{-1/2} \hbar^{-11/2} c^{-7/2} g_{wk}^2 (kT)^3 \approx \left(\frac{T}{10^{10} \text{K}} \right). \quad (15.6.26)$$

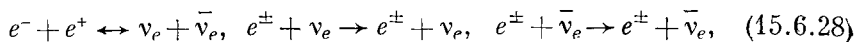
Однако все реакции (15.6.20) требуют либо присутствия μ^- или μ^+ , либо энергии, достаточной для образования μ^\pm . Когда $kT < m_\mu$, плотности мюонов и других частиц с энергией $E > m_\mu$ убывают пропорционально величине порядка $\exp(-m_\mu/kT)$ и вследствие этого

$$\frac{\sigma n_l}{H} \approx \left(\frac{T}{10^{10} \text{K}} \right)^3 \exp \left(-\frac{10^{12} \text{K}}{T} \right). \quad (15.6.27)$$

Нейтрино и антинейтрино выпадают из теплового равновесия с другими частицами, когда это отношение становится меньше единицы, т. е. при $T \approx 1,3 \cdot 10^{11}$ К.

Возможно, что в действительности v_e и \bar{v}_e оставались в тепловом равновесии несколько дольше, чем v_μ и \bar{v}_μ . По современным представлениям (см., например, [186] § 3.3) слабые взаимодействия возникают вследствие взаимодействия «слабого тока» с самим собой или непосредственно, или через посредство заряженной частицы со спином 1, «промежуточного векторного мезона». Если это верно,

то есть дополнительные реакции с участием ν_e и $\bar{\nu}_e$:



сечения которых того же порядка, что и (15.6.24) при $kT > m_e$. В этих реакциях не участвуют μ^\pm , поэтому отношение скоростей реакций ν_e и $\bar{\nu}_e$ к относительной скорости расширения H будет определяться равенством (15.6.26) при $kT > m_e$, т. е. до температуры $T \approx 5 \cdot 10^9$ К. Следовательно, реакции (15.6.28) могли поддержать тепловое равновесие ν_e и $\bar{\nu}_e$ с γ и e^\pm до температуры $T \approx 10^{10}$ К, при которой отношение (15.6.26) падает до единицы. То же самое может оказаться справедливым даже для ν_μ и $\bar{\nu}_\mu$ (см., в частности, [343—345]).

Теперь мы в состоянии изложить температурную историю ранней Вселенной. Начнем с температуры между 10^{12} К и $1,3 \cdot 10^{11}$ К, когда μ^+ и μ^- были уже достаточно редки для того, чтобы их вкладом в $\rho_{\text{равн}}$ и $p_{\text{равн}}$ можно было пренебречь, но их оставалось еще достаточно для поддержания теплового равновесия нейтрино и антинейтрино с другими частицами. Основными составляющими Вселенной были в то время e^\pm , γ , ν_e , $\bar{\nu}_e$, ν_μ и $\bar{\nu}_\mu$, находящиеся в тепловом равновесии. Фотоны подчинялись распределению Планка, e^\pm — распределению Ферми (15.6.18), нейтрино и антинейтрино — распределению Ферми вида

$$\begin{aligned} n_{\nu_e}(q) dq &= n_{\bar{\nu}_e}(q) dq = n_{\nu_\mu}(q) dq = \\ &= n_{\bar{\nu}_\mu}(q) dq = 4\pi h^{-3} q^2 \left[\exp\left(\frac{q}{kT}\right) + 1 \right]^{-1} dq. \end{aligned} \quad (15.6.29)$$

Поскольку все эти частицы были ультрарелятивистскими, температура падала по закону (15.6.17), а именно $T \sim R^{-1}$. Когда она упала примерно до $1,3 \cdot 10^{11}$ К, ν_μ , $\bar{\nu}_\mu$, а возможно, также и ν_e , $\bar{\nu}_e$ перестали взаимодействовать с частицами, находящимися в тепловом равновесии, и начали свободно расширяться. Однако это *выключение взаимодействия не имело никакого влияния ни на одну из функций распределения*. Частицы, остающиеся в равновесии, по-прежнему образуют ультрарелятивистский газ, и их температура продолжает падать как R^{-1} .

При этом плотность числа нейтрино и антинейтрино спадает, как R^{-3} , и их импульсы испытывают красное смещение, пропорциональное R^{-1} (как и импульсы фотонов), так что вид распределения (15.6.29) сохраняется, причем температура нейтрино T_ν пропорциональна R^{-1} . Поскольку $T_\nu = T$ до выключения взаимодействия и поскольку после этого и T_ν , и T убывают как R^{-1} , нейтрино и антинейтрино продолжают подчиняться распределению

нию Ферми (15.6.29) с $T_v = T$, как если бы они оставались в тепловом равновесии с другими частицами. При $T \approx 10^{10}$ К могло произойти второе выключение взаимодействия — для v_e и \bar{v}_e , но опять же при этом не происходит никакого изменения в функции распределения нейтрино и антинейтрино, если только во время этого выключения e^\pm еще остаются релятивистскими. Итак, в течение всего времени, когда 10^{12} К $> T > 5 \cdot 10^9$ К, нейтрино и антинейтрино вели себя так, как если бы они были в тепловом равновесии и все частицы γ , e^\pm , v_μ , \bar{v}_μ , v_e и \bar{v}_e имели распределение Планка или Ферми с одной и той же температурой T , падающей как R^{-1} . Плотности энергии нейтрино и антинейтрино были равны

$$\rho_{v_e} = \rho_{\bar{v}_e} = \rho_{v_\mu} = \rho_{\bar{v}_\mu} \equiv \rho_v, \quad (15.6.30)$$

где

$$\rho_v = 4\pi h^{-3} \int_0^\infty q^3 dq \left[\exp\left(\frac{q}{kT}\right) + 1 \right]^{-1} = \frac{7\pi^5}{30h^3} (kT)^4 = \frac{7}{16} aT^4. \quad (15.6.31)$$

Кроме того, при $kT > m_e$ e^\pm были релятивистскими и поэтому

$$\rho_{e^-} = \rho_{e^+} = 2\rho_v = \frac{7}{8} aT^4 \quad (15.6.32)$$

($\rho_{e^\pm} = 2\rho_v$ из-за того, что e^+ и e^- имеют по два спиновых состояния). Полная плотность энергии Вселенной в период, когда 10^{10} К $\leqslant T < 10^{12}$ К, была, таким образом, равна

$$\rho = \rho_{v_e} + \rho_{\bar{v}_e} + \rho_{v_\mu} + \rho_{\bar{v}_\mu} + \rho_{e^-} + \rho_{e^+} + \rho_\gamma = \frac{9}{2} aT^4. \quad (15.6.33)$$

Далее картина несколько усложняется. При температуре ниже 10^{10} К единственными, оставшимися в тепловом равновесии и игравшими существенную роль частицами были e^\pm и γ . Их энергия в объеме R^3 определяется формулами (15.6.14), (15.6.7), (15.6.8) и (15.6.18):

$$s = \frac{R^3}{T} (\rho_{e^-} + \rho_{e^+} + \rho_\gamma + p_{e^-} + p_{e^+} + p_\gamma). \quad (15.6.34)$$

При $T > 5 \cdot 10^9$ К электроны и позитроны были релятивистскими, поэтому в (15.6.34) можно подставить выражения (15.6.15) и (15.6.32):

$$s = \frac{4R^3}{3T} (\rho_{e^-} + \rho_{e^+} + \rho_\gamma) = \frac{11}{3} a (RT)^3. \quad (15.6.35)$$

Когда температура T упала ниже $5 \cdot 10^9$ К, e^+ и e^- аннигилировали и окончательно остались только фотоны с энтропией

$$s = \frac{4R^3}{3T} \rho_\gamma = \frac{4}{3} a (RT)^3. \quad (15.6.36)$$

Но поскольку $s = \text{const}$, то результатом исчезновения e^+ и e^- было возрастание RT в $(\frac{11}{4})^{1/3}$ раз [186]:

$$\frac{(RT)_{T < 10^9 \text{ K}}}{(RT)_{T > 5 \cdot 10^9 \text{ K}}} = \left(\frac{11}{4}\right)^{1/3}. \quad (15.6.37)$$

Нейтрино и антинейтрино не были «подогреты» электронно-позитронной аннигиляцией; поэтому их температура продолжала падать, как R^{-1} . Следовательно, при $T < 5 \cdot 10^9$ К уже нужно различать температуру нейтрино и антинейтрино T_ν и общую температуру фотонов и всех других оставшихся заряженных частиц T . Поскольку $RT_\nu = \text{const}$, а RT подскочило в $(\frac{11}{4})^{1/3}$ раз, фотонная температура становится в итоге больше нейтринной в это же число раз:

$$\left(\frac{T}{T_\nu}\right)_{T < 10^9 \text{ K}} = \left(\frac{11}{4}\right)^{1/3} = 1,401. \quad (15.6.38)$$

Чтобы определить поведение RT или T/T_ν между $5 \cdot 10^9$ и 10^9 К, необходимо использовать выражение (15.6.34) или

$$s = \frac{4}{3} a (RT)^3 \mathcal{S} \left(\frac{m_e}{kT} \right), \quad (15.6.39)$$

где

$$\begin{aligned} \mathcal{S}(x) \equiv 1 + \frac{45}{2\pi^4} \int_0^\infty y^2 dy \left[\sqrt{x^2 + y^2} + \frac{y^2}{3\sqrt{x^2 + y^2}} \right] \times \\ \times [\exp(\sqrt{x^2 + y^2}) + 1]^{-1}. \end{aligned} \quad (15.6.40)$$

Постоянную s можно выразить через постоянную RT_ν , заменяя в (15.6.35) T на T_ν , и тогда

$$T_\nu = \left(\frac{4}{11}\right)^{1/3} T \left[\mathcal{S} \left(\frac{m_e}{kT} \right) \right]^{1/3}. \quad (15.6.41)$$

Численный расчет [186, 187] функции \mathcal{S} показывает, что отношение T/T_ν увеличилось только до 1,001 ко времени, когда температура упала до $3 \cdot 10^9$ К, и было меньше 1,4 при $T = 10^9$ К (табл. 15.4).

При $T < 10^9$ К в тепловом равновесии с фотонами было только небольшое количество нуклонов и электронов, оставшихся после того, как все пары $e^- - e^+$ аннигилировали. Обе температуры, T_ν и T , продолжали падать как R^{-1} , оставаясь в фиксированном отношении (15.6.37). В предыдущем параграфе было установлено, что температура фотонов T_γ перестала совпадать с температурой вещества T при $T \leq 4000$ К, но и после этого она продолжала падать, как R^{-1} . Таким образом, сейчас должно существовать космическое нейтрино-антинейтриноное фоновое излучение черного тела, описываемое формулой (15.6.29) с температурой

$$T_{\nu 0} = \left(\frac{4}{11}\right)^{1/3} T_{\gamma 0} = 1,9 \text{ K}.$$

Таблица 15.4

Температурная история Вселенной с момента аннигиляции пар $\mu^+\mu^-$ до выключения взаимодействия между веществом и излучением *

$T, \text{ К}$	R/R_0	T/T_v	$t, \text{ с}$
10^{12}	$1,9 \cdot 10^{-12}$	1,100	0
$6 \cdot 10^{11}$	$3,2 \cdot 10^{-12}$	1,000	$1,94 \cdot 10^{-4}$
$3 \cdot 10^{11}$	$6,4 \cdot 10^{-12}$	1,000	$1,129 \cdot 10^{-3}$
$2 \cdot 10^{11}$	$9,6 \cdot 10^{-12}$	1,000	$2,61 \cdot 10^{-3}$
10^{11}	$1,9 \cdot 10^{-11}$	1,000	$1,078 \cdot 10^{-2}$
$6 \cdot 10^{10}$	$3,2 \cdot 10^{-11}$	1,000	$3,01 \cdot 10^{-2}$
$3 \cdot 10^{10}$	$6,4 \cdot 10^{-11}$	1,001	0,1209
$2 \cdot 10^{10}$	$9,6 \cdot 10^{-11}$	1,002	0,273
10^{10}	$1,9 \cdot 10^{-10}$	1,008	1,103
$6 \cdot 10^9$	$3,1 \cdot 10^{-10}$	1,022	3,14
$3 \cdot 10^9$	$5,9 \cdot 10^{-10}$	1,081	13,83
$2 \cdot 10^9$	$8,3 \cdot 10^{-10}$	1,159	35,2
10^9	$2,6 \cdot 10^{-9}$	1,346	$1,82 \cdot 10^2$
$3 \cdot 10^8$	$9,0 \cdot 10^{-9}$	1,401	$2,08 \cdot 10^3$
10^8	$2,7 \cdot 10^{-8}$	1,401	$1,92 \cdot 10^4$
10^7	$2,7 \cdot 10^{-7}$	1,401	$1,92 \cdot 10^6$
10^6	$2,7 \cdot 10^{-6}$	1,401	$1,92 \cdot 10^8$
10^5	$2,7 \cdot 10^{-5}$	1,401	$1,92 \cdot 10^{10}$
10^4	$2,7 \cdot 10^{-4}$	1,401	$1,92 \cdot 10^{12}$
$4 \cdot 10^3$	$6,3 \cdot 10^{-4}$	1,401	$1,20 \cdot 10^{13}$

* Значения R/R_0 получены в предположении, что современная температура излучения $T_{\gamma 0} = 2,7 \text{ К}$. Последние несколько значений t получены в предположении, что плотностью энергии вещества все еще можно пренебречь по сравнению с плотностью энергии фотонов и нейтрино. Значения T/T_v и t при $T > 10^8 \text{ К}$ взяты из работы [187].

Все время, начиная с $T \approx 10^9 \text{ К}$ и до настоящего момента, плотность энергии фотонов, нейтрино и антинейтрино была равна

$$\rho_R \equiv \rho_\gamma + \rho_{v_e} + \rho_{\bar{v}_e} + \rho_{v_\mu} + \rho_{\bar{v}_\mu} = aT_\gamma^4 + \frac{7}{4}aT_v^4 = \\ = \left[1 + \frac{7}{4} \left(\frac{4}{11} \right)^{4/3} \right] aT_\gamma^4 = 1,45aT_\gamma^4. \quad (15.6.42)$$

Ее можно сравнить с плотностью энергии нерелятивистского вещества $m_N n_N$, которая убывает как R^{-3} или T_γ^{-3} :

$$n_N = n_{N0} \left(\frac{T_\gamma}{T_{\gamma 0}} \right)^3.$$

Отсюда критическая температура $T_{\text{кр}}$, при которой $m_N n_N = \rho_R$, равна

$$T_{\text{кр}} = \frac{m_N n_{N0}}{1,45a T_{\gamma 0}^3} = 4200 \text{ K} \left[\frac{m_N n_{N0}}{10^{-30} \text{ г/см}^3} \right]. \quad (15.6.43)$$

Если $2 \cdot 10^{-29} \text{ г/см}^3 \geq m_N n_{N0} \geq 3 \cdot 10^{-31} \text{ г/см}^3$, то $84000 \text{ K} \geq T_{\text{кр}} \geq 1200 \text{ K}$. Можно отметить, что температура $T_R \approx 4000 \text{ K}$, при которой произошла рекомбинация ионизованного водорода, лежит в этих пределах, поэтому не ясно, была ли плотность энергии излучения больше или меньше плотности энергии вещества в момент исчезновения теплового контакта. Эта неопределенность не сказывалась на нашем обсуждении микроволнового фона в предыдущем параграфе; важно было лишь, что плотность числа фотонов была и остается много больше плотности барионов.

Сколько времени все это занимало? В эру, когда температура была между 10^{12} и $5 \cdot 10^9 \text{ K}$, и после этого, пока она опускалась до 10^9 K , все имевшиеся в большом количестве частицы были ультрарелятивистскими, а давление $p \approx \rho/3$. Согласно (15.1.23), плотность энергии ρ изменялась как R^{-4} . Для этих периодов динамическое уравнение (15.6.2) можно записать в виде

$$\frac{\dot{\rho}}{\rho} = -\frac{4\dot{R}}{R} = -4 \left(\frac{8\pi G\rho}{3} \right)^{1/2}$$

а его решением является

$$t = \left(\frac{3}{32\pi G\rho} \right)^{1/2} + \text{const}. \quad (15.6.44)$$

При $10^{12} \text{ K} > T > 5 \cdot 10^9 \text{ K}$ плотность энергии дается формулой (15.6.33), откуда (в единицах СГС)

$$t = \left(\frac{c^2}{48\pi G a T^4} \right)^{1/2} + \text{const} = 1,09 \text{ с} \left[\frac{T}{10^{10} \text{ K}} \right]^{-2} + \text{const}.$$

Таким образом, понадобилось 0,0107 с для того, чтобы температура T упала от 10^{12} до 10^{11} K , и еще 1,07 с — для падения до 10^{10} K .

При $10^9 \text{ K} > T > T_{\text{кр}}$ плотность энергии определяется формулой (15.6.42), поэтому

$$t = \left(\frac{c^2}{15,5\pi G a T_{\gamma}^4} \right)^{1/2} + \text{const} = 1,92 \text{ с} \left[\frac{T_{\gamma}}{10^{10} \text{ K}} \right]^{-2} + \text{const}.$$

Время, необходимое для падения температуры от 10^9 до 10^8 K , составляло, таким образом, около 5,3 ч. Если излучение продолжало доминировать над веществом до рекомбинации водорода при $T = 4000 \text{ K}$, то возраст Вселенной к этому моменту был равен $4 \cdot 10^5$ лет.

К сожалению, если мы хотим описать поведение $T(t)$ и $R(t)$ в ходе всей ранней истории Вселенной, то при «прослеживании» эры электрон-позитронной аннигиляции приходится прибегать

к численному расчету. Чтобы выразить R через T , воспользуемся тем фактом, что при $T < 10^{12}$ К энтропия (15.6.39) оставалась все время постоянной (до настоящего времени, если при $T < 4000$ К подставлять T_γ вместо T). Таким образом,

$$s = \frac{4}{3} a (R_0 T_{\gamma 0})^3 \quad (15.6.45)$$

и, следовательно, (15.6.39) можно переписать в виде

$$\frac{R}{R_0} = \left(\frac{T}{T_{\gamma 0}} \right)^{-1} \mathcal{S}^{-1/3} \left(\frac{m_e}{kT} \right). \quad (15.6.46)$$

Плотность энергии ρ является функцией T , такой, что ее при температуре T , меньшей 10^{12} К и большей чем $T_{\text{кр}}$ и 4000 К, можно приравнять

$$\begin{aligned} \rho &= \rho_\gamma + \rho_{v_e} + \rho_{\bar{v}_e} + \rho_{v_\mu} + \rho_{\bar{v}_\mu} + \rho_{e^+} + \rho_{e^-} = \\ &= aT^4 + \frac{7}{4} aT_v^4 + 16\pi h^{-3} \int_0^\infty E_e(q) q^2 dq \left[\exp \left(\frac{E_e(q)}{kT} \right) + 1 \right]^{-1}. \end{aligned}$$

С помощью (15.6.41) получим

$$\rho = aT^4 \mathcal{E} \left(\frac{m_e}{kT} \right), \quad (15.6.47)$$

где

$$\begin{aligned} \mathcal{E}(x) &= 1 + \frac{7}{4} \left(\frac{4}{11} \right)^{4/3} \mathcal{S}^{4/3}(x) + \\ &+ \frac{30}{\pi^4} \int_0^\infty y^2 dy \sqrt{x^2 + y^2} [\exp(\sqrt{x^2 + y^2}) + 1]^{-1}. \quad (15.6.48) \end{aligned}$$

В динамическом уравнении (15.6.2)

$$dt = \left(\frac{8\pi\rho G}{3} \right)^{-1/2} \frac{dR}{R}$$

можно использовать уравнения (15.6.46) и (15.6.47) и получить формулу для времени как функции температуры:

$$t = - \int \left[\frac{8}{3} \pi G a T^4 \mathcal{E} \left(\frac{m_e}{kT} \right) \right]^{-1/2} \left(\frac{dT}{T} + \frac{d\mathcal{S}(m_e/kT)}{3\mathcal{S}(m_e/kT)} \right). \quad (15.6.49)$$

Численные значения t , R/R_0 и T/T_v в зависимости от T даны в табл. 15.4 [187].

Единственным по-настоящему произвольным предположением было до сих пор то, что плотности лептонных чисел N_E и N_M считались равными нулю или по крайней мере много меньшими, чем n_γ . Рассмотрим теперь, каким был бы эффект отказа от этого

предположения. После падения температуры ниже 10^{12} К из заряженных частиц оставались только электроны и позитроны; электронейтральность требует, чтобы $N_Q = n_{e^+} - n_{e^-} = 0$. Химический потенциал электрона должен быть тогда равен нулю, и единственными частицами с исчезающими химическими потенциалами остаются нейтрино и антинейтрино. При $T > 1,3 \cdot 10^{11}$ К эти частицы были в равновесии с γ , e^+ и e^- и подчинялись распределению Ферми

$$n_{v_e}(q) dq = 4\pi h^{-3} q^2 dq \left[\exp \left(\frac{q - \mu_{v_e}}{kT} \right) + 1 \right]^{-1}, \quad (15.6.50)$$

$$n_{\bar{v}_e}(q) dq = 4\pi h^{-3} q^2 dq \left[\exp \left(\frac{q + \mu_{v_e}}{kT} \right) + 1 \right]^{-1} \quad (15.6.51)$$

и аналогично для v_μ и \bar{v}_μ . Плотности лептонных чисел тогда равны

$$N_E = \int [n_{v_e}(q) - n_{\bar{v}_e}(q)] dq = 4\pi \left(\frac{kT}{h} \right)^3 \mathcal{N} \left(\frac{\mu_{v_e}}{kT} \right), \quad (15.6.52)$$

$$N_M = \int [n_{v_\mu}(q) - n_{\bar{v}_\mu}(q)] dq = 4\pi \left(\frac{kT}{h} \right)^3 \mathcal{N} \left(\frac{\mu_{v_\mu}}{kT} \right), \quad (15.6.53)$$

где

$$\mathcal{N}(x) \equiv \int_0^\infty [(e^{y-x} + 1)^{-1} - (e^{y+x} + 1)^{-1}] y^2 dy. \quad (15.6.54)$$

Поскольку электронное лептонное и мюонное лептонные числа считаются сохраняющимися [183], плотности N_E и N_M должны все время вести себя как R^{-3} , а поскольку мы знаем, что в период, когда 10^{12} К $> T > 5 \cdot 10^9$ К, температура изменяется как R^{-1} , то из всего этого следует, что μ_{v_e}/kT и μ_{v_μ}/kT должны быть постоянными с момента аннигиляции $\mu^+ - \mu^-$ до «выключения» взаимодействия нейтрино и антинейтрино с остальной материией.

После «выключения» этого взаимодействия нейтрино и антинейтрино свободно расширяются; при этом их плотности падают как R^{-3} , а импульсы «краснеют» пропорционально R^{-1} . Это красное смещение сохраняет вид распределений (15.6.50) и (15.6.51), но приводит к уменьшению температуры и химических потенциалов в R^{-1} раз. Таким образом, распределения нейтрино в течение всего периода $T < 10^{12}$ К до настоящего времени определяются следующими формулами:

$$n_{v_e}(q) dq = 4\pi h^{-3} q^2 dq \left[\exp \left(\frac{q - \mu_{v_e}}{kT_v} \right) + 1 \right]^{-1}, \quad (15.6.55)$$

$$n_{\bar{v}_e}(q) dq = 4\pi h^{-3} q^2 dq \left[\exp \left(\frac{q + \mu_{v_e}}{kT_v} \right) + 1 \right]^{-1}, \quad (15.6.56)$$

$$n_{\nu_\mu}(q) dq = 4\pi h^{-3} q^2 dq \left[\exp\left(\frac{q - \mu_{\nu_\mu}}{kT_v}\right) + 1 \right]^{-1}, \quad (15.6.57)$$

$$n_{\bar{\nu}_\mu}(q) dq = 4\pi h^{-3} q^2 dq \left[\exp\left(\frac{q + \mu_{\nu_\mu}}{kT_v}\right) + 1 \right]^{-1}, \quad (15.6.58)$$

где T_v , μ_{ν_e} и μ_{ν_μ} изменяются как R^{-1} , причем до аннигиляции электронов и позитронов $T_v = T$. Распределения нейтрино и антинейтрино не влияют на аннигиляцию $e^+ - e^-$, и все полученные ранее результаты относительно зависимости T_v и R от T сохраняют силу.

Если N_E и N_M много меньше, чем плотность фотонов $n_\gamma \approx (kT/h)^3$, из (15.6.52) и (15.6.53) получим

$$|\mu_{\nu_e}| \ll kT_v, \quad |\mu_{\nu_\mu}| \ll kT_v \quad (15.6.59)$$

и все распределения (15.6.55) — (15.6.58) сводятся к использованному ранее распределению (15.6.29).

Напротив, если N_E или N_M сравнимы с плотностью n_γ или больше ее, то постоянные $|\mu_{\nu_e}/kT_v|$ или $|\mu_{\nu_\mu}/kT_v|$ будут порядка единицы или больше и функции распределения (15.6.55) — (15.6.58) будут заметно отличаться от (15.6.29). В пределе, когда, скажем, $\mu_{\nu_e}/kT_v \gg 1$, функции распределения (15.6.55), (15.6.56) становятся равными

$$n_{\nu_e}(q) dq \approx \begin{cases} 4\pi h^{-3} q^2 dq, & q < \mu_{\nu_e}, \\ 0, & q > \mu_{\nu_e}, \end{cases} \quad (15.6.60)$$

$$n_{\bar{\nu}_e}(q) dq \approx 0. \quad (15.6.61)$$

Это случай *полного вырождения нейтрино*. Разумеется, если $\mu_{\nu_e}/kT_v \ll -1$, то в формулах (15.6.60) и (15.6.61) нейтрино и антинейтрино меняются ролями и имеет место полное вырождение антинейтрино. Возможность полного вырождения нейтрино допускалась [188] некоторое время назад до открытия микроволнового фона, когда представлялось разумным предположить, что Вселенная всегда была холодной и поэтому $kT_v \ll |\mu_{\nu_e}|$.

Частичное или полное вырождение повлияло бы на наши расчеты только таким образом, что сократилась бы временная шкала. Полная энергия нейтрино и антинейтрино определяется выражением

$$\rho_{\nu+\bar{\nu}} = \int [n_{\nu_e}(q) + n_{\bar{\nu}_e}(q) + n_{\nu_\mu}(q) + n_{\bar{\nu}_\mu}(q)] q dq = \\ = 4\pi h^{-3} (kT_v)^4 \left[\mathcal{F}\left(\frac{\mu_{\nu_e}}{kT_v}\right) + \mathcal{F}\left(\frac{\mu_{\nu_\mu}}{kT_v}\right) \right], \quad (15.6.62)$$

где

$$\mathcal{F}(x) \equiv \int_0^{\infty} [(e^{y-x} + 1)^{-1} + (e^{y+x} + 1)^{-1}] y^3 dy.$$

Эта величина всегда больше, чем плотность энергии при нулевом химическом потенциале $7/4 a T_v^4$ [см. (15.6.30) и (15.6.31)], и, следовательно, скорость расширения (15.6.2) возрастает при вырождении. В пределе, когда $|\mu_{\nu_e}/kT_v| \gg 1$ или $|\mu_{\nu_\mu}/kT_v| \gg 1$ или когда выполняются оба эти условия вместе, мы имеем

$$\rho \approx \rho_{v+v} \approx \pi h^{-3} [\mu_{\nu_e}^{-4} + \mu_{\nu_\mu}^{-4}]. \quad (15.6.63)$$

Тогда вырожденные нейтрино или антинейтрино дают основной вклад в плотность энергии и определяют скорость расширения.

Интересно узнать, можем ли мы обнаружить космический фон нейтрино и антинейтрино. Наиболее жесткий верхний предел на $|\mu_{\nu_e}|$ и $|\mu_{\nu_\mu}|$ накладывается измерениями параметра замедления q_0 . Поскольку q_0 ненамного больше единицы, полная плотность энергии не может быть много больше чем 10^{-29} г/см³ (см. § 2 этой главы) и поэтому, согласно (15.6.63),

$$[\mu_{\nu_e}^{-4} + \mu_{\nu_\mu}^{-4}]^{1/4} \leq 0,0075 \text{ эВ.} \quad (15.6.64)$$

Как мы уже видели, нынешняя температура нейтрино T_{v0} равна примерно 1,9 К, т. е. $kT_{v0} = 1,7 \cdot 10^{-4}$ эВ. Отсюда ограничение сверху на химический потенциал можно записать в виде

$$\frac{|\mu_{\nu_e}|}{kT_v} \leq 45, \quad \frac{|\mu_{\nu_\mu}|}{kT_v} \leq 45. \quad (15.6.65)$$

Следовательно, измерения q_0 не исключают почти полного вырождения.

Мы можем также попытаться измерить химические потенциалы непосредственно. В разрешенном β^- -распаде, например $H^3 \rightarrow He^3 + e^- + \bar{\nu}_e$, нормально мы ожидаем, что число событий на интервал энергии электрона (E_e , $E_e + dE_e$) дается функцией Ферми

$$N_F(E_e) dE_e = a p_e E_e (W_0 - E_e)^2 F(E_e) dE_e,$$

где a — постоянная, p_e — импульс электрона, W_0 — максимальная энергия электрона и $F(E_e)$ — известная функция, вводящая поправку на кулоновское взаимодействие в конечном состоянии. Однако в присутствии фона антинейтрино (15.6.56) скорость β^- -распада уменьшится вследствие принципа Паули, так как ее нужно умножить на долю незаполненных состояний антинейтрино

при энергии $W_0 - E_e$:

$$N(E_e) dE_e = \left[1 - \frac{\frac{h^3 n_{\bar{\nu}_e}}{v_e} (W_0 - E_e)}{4\pi (W_0 - E_e)^2} \right] N_F(E_e) dE_e,$$

или в явном виде [94]

$$N(E_e) dE_e = \left[1 + \exp \left(\frac{E_e - W_0 + \mu_{\nu e 0}}{kT_{\nu 0}} \right) \right]^{-1} \times \\ \times a p_e E_e (W_0 - E_e)^2 F(E_e) dE_e. \quad (15.6.66)$$

Поскольку W_0 во всех известных процессах β -распада много больше, чем $|\mu_{\nu e 0}|$ и $kT_{\nu 0}$, эта поправка весьма мала в подавляющей части спектра электронов. Все же если $\mu_{\nu e 0} < -kT_{\nu 0}$, то функция $N(E_e)$ будет аномально подавлена в области $W_0 > E_e \geq W_0 - |\mu_{\nu e 0}|$, как если бы антинейтрино имело массу $|\mu_{\nu e 0}|$. Если $\mu_{\nu e 0} > 0$, большого подавления при $E_e < W_0$ не будет, но зато будут события с $E_e > W_0$, вызванные поглощением космических нейтрино в реакциях типа $\nu_e + H^3 \rightarrow e^- + He^3$. Частота таких событий дается [188] той же формулой (15.6.66), что и в случае рождения антинейтрино, за исключением того, что вместо $\mu_{\nu e 0}$ нужно подставить $-\mu_{\nu e 0}$ и считать, что $E_e > W_0$. Таким образом, при $\mu_{\nu e 0} > kT_{\nu 0}$ β^- -спектр поднимется выше W_0 до энергии $W_0 + \mu_{\nu e 0}$, что внешне будет выглядеть как нарушение сохранения энергии.

К настоящему времени наилучшие данные по спектру β^- -электронов вблизи конечной точки W_0 получены при изучении низкоэнергетического распада $H^3 \rightarrow He^3 + e^- + \bar{\nu}_e$ с $W_0 = 18,7$ кэВ. В последних экспериментах [189, 190] не было обнаружено какого-либо аномального подавления спектра в области ниже чем на 60 эВ от конца спектра W_0 и никаких аномальных событий при энергии выше $W_0 + 60$ эВ. Отсюда вывод, что

$$|\mu_{\nu e 0}| \leq 60 \text{ эВ} \quad (15.6.67)$$

для химического потенциала любого знака.

Есть также возможность получения косвенной информации о фоне космических нейтрино и антинейтрино из «выживания» протонов в космических лучах. Нейтрино или антинейтрино с энергией q , сталкивающиеся под углом θ с релятивистским протоном с энергией γm_p , в системе покоя протона будут иметь энергию

$$E \approx \gamma q (1 - \cos \theta) \text{ при } \gamma \gg 1.$$

Полное сечение реакций $p\nu$ и $\bar{p}\bar{\nu}$ при «лабораторной» энергии E приблизительно равно

$$\sigma(E) \approx AE^2,$$

где (в единицах СГС)

$$A \approx \frac{g_{wh}^2}{\hbar^4 c^4} \approx 10^{-56} \text{ см}^2/\text{эВ}^2.$$

Тогда скорость этих реакций для релятивистского протона с энергией γm_p в фоне вырожденных ν_e (или $\bar{\nu}_e$) определяется выражением

$$\Gamma = \int_0^\pi \sin \theta \, d\theta \int_0^{2\pi} d\phi \int_0^{|\mu_{\nu_e 0}|} \sigma [\gamma q (1 - \cos \theta)] h^{-3} q^2 \, dq,$$

или (в единицах СГС)

$$\Gamma \approx \frac{4\pi \gamma^2 A |\mu_{\nu_e 0}|^5}{15 h^3 c^2} \approx 3 \cdot 10^{-34} \gamma^2 |\mu_{\nu_e 0}| (\text{эВ})^5 \text{с}^{-1}, \quad (15.6.68)$$

и аналогично для вырожденных ν_μ или $\bar{\nu}_\mu$. Как было отмечено Бернштейном, Рудерманом и Файнбергом [191], из того, что наблюдаемые протоны космических лучей с $\gamma > 10^6$ определенно пропущившиеся в течение более чем 10^6 с, следует, что $|\mu_{\nu_e 0}|$ и $|\mu_{\nu_\mu 0}|$ должны быть меньше 10^3 эВ. Коусик, Пал и Тэндон [192] предположили, что протоны с $\gamma \approx 10^9$ не могут испытать более 14 актов рассеяния в течение времени порядка $5 \cdot 10^7$ лет, и пришли к выводу, что $|\mu_{\nu_e 0}|$ и $|\mu_{\nu_\mu 0}|$ меньше 2 эВ.

Кроме того, можно искать изломы в спектре протонов космических лучей при порогах различных реакций νp и $\bar{\nu} p$. Например, порог реакции $p + \nu_e \rightarrow n + e^+$ находится при $m_e + m_n - m_p = -1,8$ МэВ, и если $\mu_{\nu_e 0} < -kT_{v0}$, то должен быть излом вниз в спектре протонов космических лучей при

$$\gamma \approx \frac{1,8 \text{ МэВ}}{|\mu_{\nu_e 0}|}. \quad (15.6.69)$$

Константинов, Кочаров и Старбунов [193, 194] заметили существование излома при $\gamma \approx 2 \cdot 10^6$ и предположили, что он, возможно, обусловлен вырожденным антинейтринным фоном с

$$\mu_{\nu_e 0} \approx -0,8 \text{ эВ}. \quad (15.6.70)$$

Эта оценка по абсолютному значению много больше верхнего предела (15.6.64), установленного из измерений q_0 .

§ 7. Синтез гелия

Начиная с пионерской работы Ф. В. Кларка [195], в прошлом веке относительное содержание химических элементов было предметом тщательных исследований геологов и астрономов. Постепенно было определено «космическое» распределение элементов [196—